

마이크로프로세서의 制御 應用을 위한 소프트웨어
開發에 關한 研究

(A Study on Software Development for Control
Application of Microprocessors)

李 太 遠*
(Rhee, Tae Weon)

要 約

Microprocessor를 機械系의 制御에 應用하기 위하여 drilling machine의 自動화를 위한 Software를 開發하였다. Work table의 座標軸 方向의 變位를 담당하는 pulse motor가 指令 pulse에 忠實히 應答할 수 있도록 하기 위하여 最適 start-stop pulse rate를 調査하여 이를 matrix化 함으로서 實際 作業時에는 入力 data에 依하여 最適 pulse rate로 始動 또는 停止의 正確을 기하도록 하였다. Worktable의 x-y 平面內에서의 移動은 x軸 motor와 y軸 motor에 pulse를 교대로 보냄으로서 變位 時間을 短縮시켰다.

Program을 package化하여 作業仕樣에 따른 data만을 入力함으로서 使用의 便宜를 도모하였다.

Abstract

An assembly package program is developed for a computerized operation of a drilling machine system utilizing a microprocessor. Different drilling instruction requires merely the input of different sets of input data.

To make pulse motors to follow their input pulse trains with fidelity, an optimum start-stop rate matrix is proposed, whose elements are determined according to the pulse motor torque and the load inertia of the mechanical system composed of a workpiece and a worktable.

1. 序 論

工作 機械의 工程에 關한 情報를 數值化하여 종이 tape와 같은 記憶 媒體에 수록 하였다가 이것을 數值 制御用 制御裝置에 入力시켜서 工作 工程을 制御하는 機能을 가지는 數值制御(以下 NC라고 略稱한다)工作 機械¹⁾의 開發 研究은 1940年代 末에 美空軍의 依頼에 따라 MIT의 Servo 機構 研究所에서 시작 되었다. 그 結果로 1952년에 最初의 NC Milling machine이 製作되었으며 機械 工作의 精密도와 迅速性を 目標로 NC機械의 生産이 活潑하여졌다.

1960年代 中般에 들어서서 Minicomputer의 普及에 따라 從來의 NC 制御 裝置의 hardware를 minicomputer로 代置하게 되어 Computer Numerical control (CNC라고 略稱한다)의 概念을 만들었으며 그 後에 INTEL 8080을 始初로 하는 Microprocessor의 出現으로 인하여 Microcomputer의 CNC 應用이 本 格化 되었다.

國內에서는 이 分野에 關하여 韓國科學院²⁾에서 研究된 바 있는데 Minicomputer를 使用하는 方式이었다.

本 論文에서는 位置의 自動 制御를 所定 順序에 따라 實行하는데 필요한 program의 開發을 위하여 Drilling machine을 制御 對象 機種으로 하여 이것의 制御 機能을 hardware인 NC controller가 實行하는 model을 만들었다. 이 model의 hardware를 可能限

*正會員, 高麗大學校 工科學電子工學科
(Dept. of Electronics Engr., Korea University)
接受日字: 1978年 10月 18日

software化 하기 위하여 各種 問題點을 考察 하였으며 MC6800을 CP를 中心으로 하는 microcomputer를 利用하는 Cross Assembler에 의한 應用 program을 開發하였다.

2. CNC Drilling machine의 制御 model 決定

工作物의 구멍의 位置, 直徑, 깊이를 選定하기 위하여 worktable의 x,y,z의 3方向의 移動과 drill tip의 選擇을 위한 drill tip mount의 廻轉等의 4個의 變數의 制御를 위하여 4個의 step motor가 必要하다. 그러나 電子回路 構成에 使用되는 PCB에서는 구멍의 直徑과 깊이가 一定하므로 被制御 變數는 x,y의 두개 뿐이다.

Worktable의 x,y方向의 位置 選定, 그리고 구멍의 깊이와 直徑의 選定の 順序로 考察한다. 이들의 制御에 必要한 step motor는 closed loop에 들어 있어서 變位目標量과 現在의 變位量의 比較가 可能한 것으로 假定한다.

xy方向의 位置 調節에 必要한 命令을 표1과 같이 2bit로 符號化 한다.

표 1. x,y方向 變位 命令 符號

機能	x方向 變位	y方向 變位
信號變數	CX	CY
命令符號	00 停止	00 停止
	01 x 增加	01 y 增加
	10 x 減少	10 y 減少
	11 停止	11 停止

穿孔 工程에서 普通 方式은 停止하고 있는 工作物 上部 表面으로 drill tip이 下降하지만 本 研究에서는 drill tip이 固定되고 worktable이 z方向으로 變位하게 한다.

그러나 worktable의 xy方向 變位時와는 달리 z方向의 變位時에는 drill tip이 穿孔을 위하여 工作物에 壓力을 가하게 되므로 그 變位 速度를 고려하여야 한다. z方向의 制御를 위한 信號 變數를 CZ라 하고 필요 명령의 停止는 00, 零變位(原點)로의 復歸는 10, z增加는 01, 停止를 11로 2bit 符號化 한다.

구멍의 直徑은 4個의 tip의 選擇으로 制御한다. 4個의 drill tip을 worktable面과 垂直인 圓周上에 90°간격으로 放射線形으로 配置한 drill tip mount를 step motor로 廻轉시켜서 要求하는 tip이 work table을 直角으로 向하게 한다. drill mount의 廻轉 命令은 變數CD로 하며 1bit의 符號로서 0이면 drill mount

廻轉停止, 1이면 다음의 位置까지 90° 廻轉 시킨다.

以上の 네개의 變數 즉 CX, CY, CZ CD의 命令에 의한 現在의 變位量을 각각 X,Y,Z,D 라고 한다.

Drilling machine의 自動 制御에 所要되는 命令과 data는 종이 tape에 punch하여 paper tape reader로 入力시킨다. reader를 作動시키기 위하여 Reader 制御信號 RC가 1로 入力되면 tape에 수록되었던 情報인 RD와 reader 動作完了信號 ROC가 出力된다. RC가 1이되면 ROC는 0이 되어 tape의 한 column의 情報RD가 reader buffer로 傳送된 다음 ROC는 1이 되고 RC는 0으로 reset 된다.

work table의 x,y,z 方向의 識位 變數 X,Y,Z와 drill tip의 選擇을 위한 變數 D의 4個의 變數를 擔當하는 4個의 制御部에는 各變數의 目標準과 現在值의 位置 變化命令, 動作完了信號, 變數選擇信號의 5個의 信號가 關聯되어 있다. 이것들을 羅列한 것이 표2와 같다.

표 2. 變數制御 信號

信號種類	變數			
	X	Y	Z	D
目標變數值	DX	DY	DZ	DD
現在變數值	X	Y	Z	D
動作完了信號	OCX	OCY	OCZ	OCD
位置變化命令	CX	CY	CZ	CD
變數選擇信號	NSX	NSY	NSZ	NSD

이 變數制御를 擔當하는 各 block의 制御 論理를 다음과 같이 定한다.

A) X 制御 論理

入力: X, DX, NSX

出力: CX, OCX

[OCX]=[1] if [X]=[DX] and [NSX]=[1]

[OCX]=[0] 上記 以外の 狀態

[CX]=[0,0] if [X]=[DX] and [NSX]=[1]

or if [NSX]=[0]

[CX]=[0,1] if [X]<[DX] and [NSX]=[1]

[CX]=[1,0] if [X]>[DX] and [NSX]=[1]

B) Y 制御 論理

入力: Y, DY, NSY

出力: CY, OCY

[OCY]=[1] if [Y]=[DY] and [NSY]=[1]

[OCY]=[0] 上記 以外の 狀態

[CY]=[0,0] if [Y]=[DY] and [NSY]=[1]

or if [NSY]=[0]

[CY]=[0,1] if [Y]<[DY] and [NSY]=[1]

[CY]=[1,0] if [Y]>[DY] and [NSY]=[1]

C) Z 制御 論理

入力 : Z, DZ, NSZ

出力 = CZ, OCZ

[OCZ]=[1] if [Z]=[DZ] and [NSZ]=[1]

[OCZ]=[0] 上記 以外の 状態

[OCZ]=[0,0] if [Z]=[DZ] and [NSZ]=[1]

or if [NSZ]=[0]

[CZ]=[0,1] if [DZ]=>[Z] and [NSZ]=[1]

[CZ]=[1,0] if [DZ]=[Z] and [NSZ]=[1]

D) D 制御 論理

入力 : D, DD, NSD

出力 : CD, OCD

[OCD]=[1] if [D]=[DD] and [NSD]=[1]

[OCD]=[0] 上記 以外の 状態

[CD]=[0] if [D]=[DD] and [NSD]=[1]

or if [NSD]=[0]

[CD]=[1] if [D]≠[DD] and [NSD]=[1]

以上の 各 block를 包含하는 drilling machine의 全體的인 制御系統圖는 그림 1과 같다. 여기에서 主 switching 回路網은 Reader buffer와 system의 殘餘部와의 interface 機能을 가진다. Reader buffer에는 制御 對象인 4個의 變數中의 1個단에 關聯되는 命令과 data가 收錄되므로 主 制御部로부터의 制御信號에 따라 그 情報를 該當變數의 制御部와 Instruction register로 傳送한다.

主 制御部에 入力되는 命令信號의 內容은 표 3과 같다.

표 4. 主 switching部 入出力 信號

制 御 種 類	入力信號	符 號 化	出 力
入力 read	S ₀	000	모든 出力信號 = [0]
Instruction register를 set	S ₁	001	[IC]=[RB의 命令部]
X制御	S ₂	010	[DX]=[RB의 data部] [NSX]=[1], [OC]=[OCX]
Y制御	S ₃	011	[DY]=[RB의 data部] [NSY]=[1], [OC]=[OCY]
Z制御	S ₄	100	[DZ]=[RB의 data部] [NSZ]=[1] [OC]=[OCZ]
D制御	S ₅	101	[DD]=[RB의 data部] [NSD]=[1], [OC]=[OCD]
Work table의 原位置 復歸	S ₆	110	[NSZ]=[1] [OC]=[OCZ]

主 Switching部가 主制御部로부터 받는 入力信號 S와 主 制御部로 보내는 出力信號인 [OC], [IC] 등의 內容은 표 4와 같다.

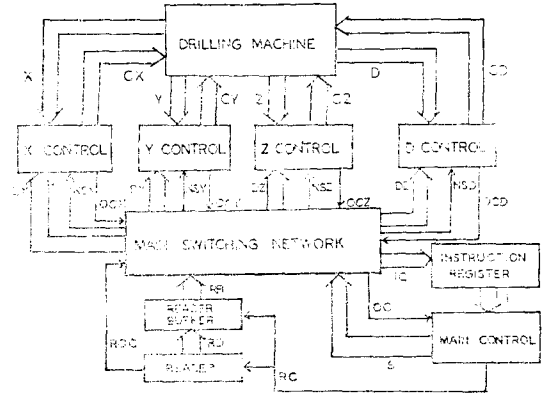


그림 1. Drilling machine의 制御 系統圖

Fig.1. Control system diagram of a drilling machine.

표 3. 主 制御部 命令 信號

命 令	關聯變數	I	命令符號
x方向移動	X	i ₁	001
y方向移動	Y	i ₂	010
穿孔	Z	i ₃	011
Drill tip 選擇	D	i ₄	100
work table의 z 方向	없음	i ₅	101
原位置復歸	없음	i ₆	000

主 制御部の 機能을 flow chart로 나타낸 것이 그림 2이다.

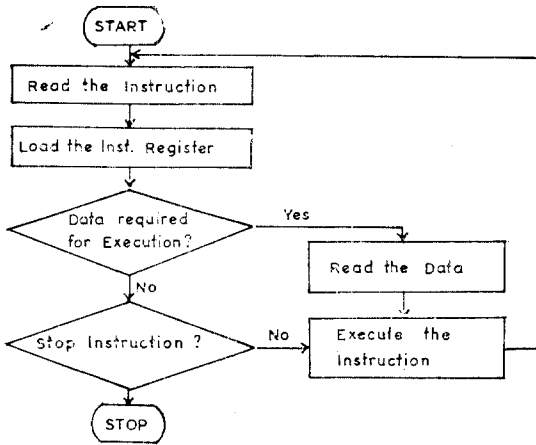


그림 2. 主 制御機能 flow chart
Fig.2. Main Controller function flow chart.

主 制御部の 機能을 그림 3의 상태 遷移圖로 나타내었다.

그림에서 q_0 부터 q_5 까지의 6個의 상태는 다음과 같다.

표 5. 狀態遷移表

現在狀態	다음狀態	入 力	出 力	備 考
q_0	q_1	[I],[OC]不問	[S]=[S ₀],[RC]=1	Read 未完了상태
q_1	q_1	[I]不問, [OC]=[0]	[S]=[S ₀],[RC]=[0]	
q_1	q_2	[I]不問, [OC]=[1]	[S]=[S ₁],[RC]=[0]	
q_2	q_5	[I]=[i ₀],[OC]=[0]	[S]=[S ₀],[RC]=[0]	命令實行未 完了상태
q_2	q_4	[I]=[i ₀ V _{i2} V _{i3}]	[S]=[S ₀],[RC]=[1]	
q_2	q_3	[I]=[i ₄],[OC]=[0]	[S]=[S ₅],[RC]=[0]	
		[I]=[i ₅][OC]=[0]	[S]=[S ₆],[RC]=[0]	
q_3	q_3	[I]=[i ₁],[OC]=[0]	[S]=[S ₂],[RC]=[0]	
		[I]=i ₂ , [OC]=[0]	[S]=[S ₃],[RC]=[0]	
		[I]=[i ₃],[OC]=[0]	[S]=[S ₄],[RC]=[0]	
		[I]=[i ₄],[OC]=[0]	[S]=[S ₅],[RC]=[0]	
		[I]=[i ₅],[OC]=[0]	S=[S ₆],[RC]=[0]	
q_3	q_0	[I]=i ₁ V _{i2} V _{i3} V _{i4} V _{i5} [RC]=[1]	[S]=[S ₀] [RC]=[0]	data read 未完了 상태
q_5	q_5	[I],[OC] 不問	[S]=[S ₀],[RC]=0	
q_4	q_3	[I]不問, [OC]=[1]	[S]=[S ₀],[RC]=[0]	
q_4	q_4	[I]不問, [OC]=[1]	[RC]=[0],[S]=[S ₅]	

- q_0 : initial state
- q_1 : Reader에서 命令을 read하는 상태
- q_2 : Instruction register에 load하는 상태
- q_3 : 命令을 實行하는 상태

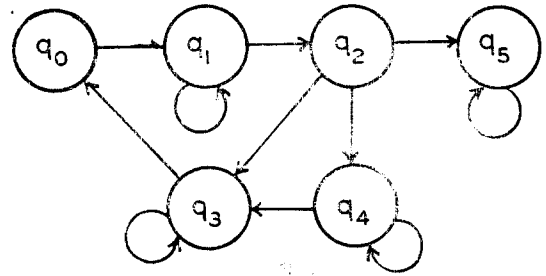


그림 3. 主制御部の 状態遷移圖
Fig.3. State transition diagram of main controller.

q_4 : 命令實行에 必要한 data를 read하는 상태
 q_5 : 命令實行이 完了 된 상태
 主 制御部の 入力은 $I = \{i_0, i_1, i_2, i_3, i_4, i_5\}$, $OC = \{0, 1\}$ 이고 出力은 $S = \{s_0, s_1, s_2, s_3, s_4, s_5, s_6\}$, $RC = \{0, 1\}$ 이므로 그림 3의 各 transition path에 (I,OC)/(S,RC)로 入出力 信號를 明示하여야 함으로 그 內容을 표 5에 나타내었다.

3. 驅動機構에 對한 考察

Microcomputer에 의해서 制御되는 펄스列을 받아서 Worktable의 正確한 x,y,z方向의 移動과 drill tip

回轉을 可能하게 하는 驅動力은 pulse motor^{2,3)}로 얻는 것으로 한다. 공급 받은 pulse의 個數에 比例하는 角變位の 軸回轉을 얻는 Digital-analog 變換 機能을 가지는 pulse motor의 捲線에는 順序의인 勵磁信號

가 必要한데 pulse列을 이 勵磁信號로 變換하는 state generator, 이 state generator의 出力이 pulse motor의 驅動에 充分하도록 하기 위하여 電力增幅器가 必要하다.

實際로는 x, y, z 方向의 直線變位를 위하여 3個의 pulse motor의 使用하나 그림 4와 같이 그중의 하나만을 擇하여 驅動系統을 나타내었다. Pulse motor를 2相驅動方式으로 擇하였을 때의 State generator의 回路圖의 한例를 그림 5에 보였다. 이 그림에서 Direction signal은 motor의 回轉方向을 時計方向으로 또는 反時計方向으로 定하기 위한 것이며 이 回路의 出力인 A_1, A_2, B_1, B_2 는 motor에 必要한 勵磁信號로서 電力 增幅器에 入力된다.

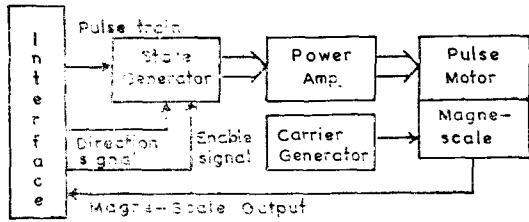


그림 4. pulse motor의 驅動系의 블럭圖
Fig. 4. Pulse motor driving system block diagram.

驅動系가 Closed loop系를 구성하기 위한 Feedback sensor로서 Magne-scale²⁾을 설치하여 pulse列에 의한 pulse motor의 軸回轉의 結果인 直交座標 方向의 變位를 指令値와 比較할 수 있게 하였다.

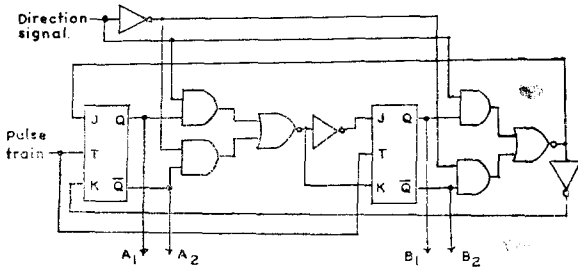


그림 5. 2相驅動方式의 state generator 回路
Fig. 5. State generator network for two-phase driving of pulse motor.

眞線形의 磁性體에 一定 波長으로 磁氣 記錄한 것을 scale로 하여 機械의 可動部分에 裝置하고 multigap head (MGH)를 써서 可動部의 變位値를 읽어내며 그 原理圖는 그림 6과 같다.

이 그림에서 두개의 head에 $\sin \frac{wc}{2}t$ 인 搬送波를 入力시키면 그 出力은 각각 다음과 같다.

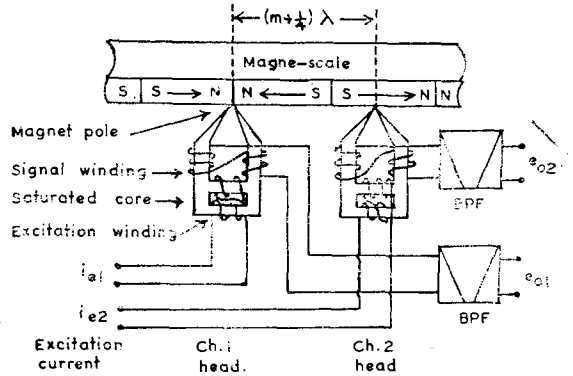


그림 6. Magne-scale 原理圖
Fig. 6. Schematic diagram of Magne-scale.

$$\begin{aligned} e_{01} &= A \sin \omega_c t \cdot \sin 2\pi x / \lambda \\ e_{02} &= B \sin \omega_c t \cdot \cos 2\pi x / \lambda \end{aligned} \quad (1)$$

여기서 x 는 scale의 變位이고

x 는 scale上的 記錄된 NS의 波長이다. e_{01} 의 搬送波의 位相을 90° 移相하게 하고 e_{01} 와 e_{02} 의 振幅을 같게 하면

$$e = A \sin(\omega_c t + 2\pi x / \lambda) \quad (2)$$

가 되어 scale의 變位에 따른 位相變調信號를 얻음으로 이것을 comparator로 矩形 pulse化하여 Interface로 feedback 시켜준다.

pulse motor의 pulse當 回轉角을 $A_p [^\circ]$, motor軸의 worm gear의 pitch를 $G_p [mm]$ 라면 N_p 個의 pulse에 忠實히 應答 하였을 때의 直線變位值 $D_p [mm]$ 는

$$D_p = \frac{A_p}{360^\circ} G_p \cdot N_p \quad (3)$$

magne-scale上的 記錄波長을 $L_w (mm)$, magne-scale의 出力 pulse를 N_m 이라 하면 可動部의 實際의인 變位値는 $N_m \cdot L_w$ 이므로

$$E_p = \frac{360^\circ |D_p - L_w \cdot N_m|}{A_p \cdot G_p} \quad (4)$$

로 表示되는 個數의 error 校正 pulse를 error의 符號에 따라 定해지는 方向의 回轉이 이루어지도록 加해준다.

實際의인 경우의 A_p 는 1.8° , G_p 는 1mm 內外인데 2個의 pulse로 因한 直線變位는 1/100 [mm]이므로 이것을 誤差 許容値로 定한다면 變數로 表示된 誤差許容値 E_R 은

$$E_R = \frac{A_p \cdot G_p}{180} \quad (5)$$

가 된다.

機械的인 負荷가 걸린 pulse motor에 순간적으로 pulse列을 加하거나 이를 차단할 경우에 주어진 pulse를 忠實히 받아서 始動하거나 停止하기 위해서는 pulse rate의 上限値를 고려하여야 하는데 이것은

표 6. 最速 start-stop Pulse Rate 表 [steps/s]

Load Inertia \ Torque	100	200	300	400	500	600	700	800	900
0	206	198	182	160	147	130	114	92	87
4	267	255	235	215	198	182	153	129	100
10	330	316	290	278	255	225	198	167	129
20	445	426	391	374	330	295	255	215	160
40	600	550	505	484	426	377	330	278	206

pulse motor의 torque의 機械的 負荷의 慣性能率에 의해서 決定된다. 代表的인 範圍를 調査한 바 표 6 과 같다.

표에서 Torque의 單位는 [OZ-in], Load inertia 는 [Lb-in²]이다. torque와 Load inertia를 이 표보다 細分하고자 할 경우에는 다음과 같은 2次元 配列의 matrix를 만들어서 Index의 技法으로 最速pulse-rate를 구하도록 한다

$$[M] = \begin{pmatrix} r_{11} & r_{12} & r_{13} & \dots & r_{1m} \\ r_{21} & r_{22} & r_{23} & \dots & r_{2m} \\ r_{31} & r_{32} & r_{33} & \dots & \dots \\ \vdots & \vdots & \vdots & \ddots & \vdots \\ r_{i1} & r_{i2} & \dots & \dots & r_{im} \end{pmatrix} \quad (6)$$

여기서 行方向은 pulse motor의 torque, 列方向은 Load inertia에 따라 配列한 것이다. 이 두 parameter

를 等差級數의으로 細分할 때 torque의 公差를 T_0 , Load inertia의 것을 L_i 라면 (6)의 配列의 S_{ij} 인 要素는 $a \cdot L_i$ 인 Load inertia와 $b \cdot T_0$ 인 torque의 경우의 最速 start-stop pulse rate가 된다.

일단 始動한 pulse motor의 回轉에 따라 x,y 座標 軸方向으로 work table이 移動할 때 컴퓨터로부터 보내어지는 指令 pulse는 x,y 方向을 交代로 보냄으로써 實際의 work table이 移動은 目標 座標로 最短 距離를 따르게 한다.

4. 마이크로 컴퓨터의 構成

本 研究를 위하여 使用하는 Microprocessor는 Motorola의 MC 6800이며 이 MPU를 中心으로 構成한 Microcomputer system은 그림 7 과 같다.

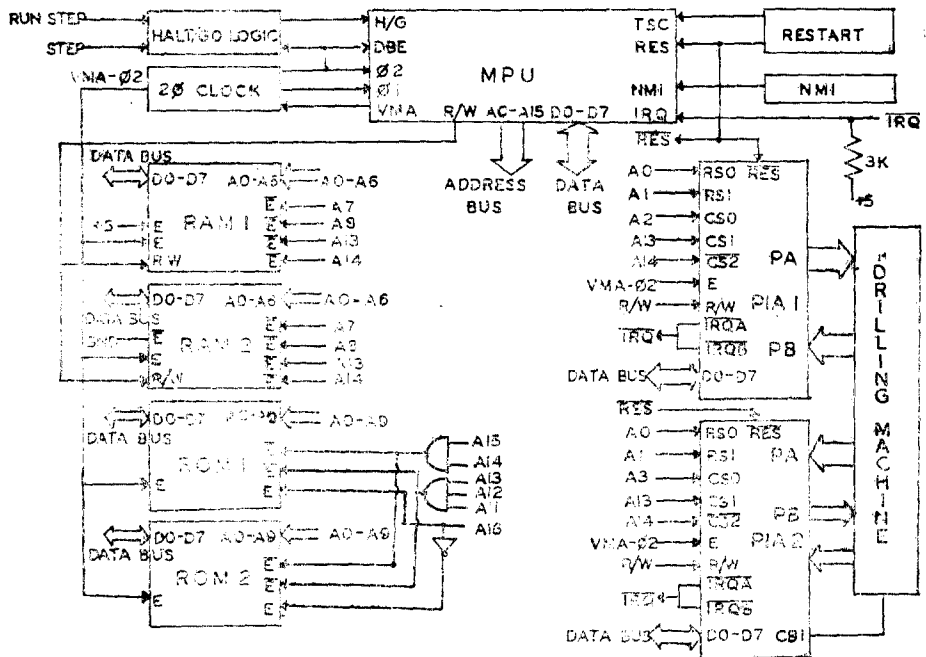


그림 7. Microcomputer 構成圖
Fig. 7. Microcomputer system.

5. Software 設計

Drilling machine의 computer數值制御, 特別 Microprocessor를 利用하는 數值制御에는 制約 要件이 있으므로 Compiler 言語에 의한 program은 不可能하므로 本 研究에서는 M6800 Cross Assembler⁹⁾를 使用하는 것으로 하더 現場의 作業仕樣에 따른 所要 data의 入力단으로 作業이 自動化 되도록 하였다.

作業의 精度를 위하여 worktable의 直線變位를 위한 座標値는 $\frac{1}{100}$ mm 單位로 하고 座標値는 2個 byte에 收錄 될 수 있는 650mm를 最大限度로 하였다.

所要 入力 data를 다음과 같이 分類하여 그 變數를 規定한다.

1) Drilling machine System自體의 規格에 關한 data

- ㉓ M(2 bytes): Pulse motor의 torque [OZ-in]
- ㉔ GP(1byte): motor 回轉軸의 worm gear의 pitch $\left[\frac{1}{100} \text{ mm}\right]$
- ㉕ AP(1byte): Pulse當의 motor 回轉軸의 回轉角 $\left[\frac{1}{10} \text{ 度}\right]$
- ㉖ WV[1byte]: Magne-scale의 波長 $\left[\frac{1}{100} \text{ mm}\right]$
- ㉗ HC (2bytes): drill의 spindle의 下端과 work table의 上面間의 距離 $\left[\frac{1}{100} \text{ mm}\right]$

이러한 data는 作業仕樣에 關係 없는 것 들이다.

2) 作業仕樣에 따라 必要한 data

- ㉘ IL (1 byte,以後 byte를 B로 表示한다): 被工作物과 worktable을 포함한 系의 Load inertia [Lb-in²]
- ㉙ HW (2B): 被工作物의 두께 $\left[\frac{1}{100} \text{ mm}\right]$
- ㉚ JN(1B): 穿孔할 구멍의 數
- ㉛ X(2B): 구멍의 x좌표 $\left[\frac{1}{100} \text{ mm}\right]$
- ㉜ Y (2B): 구멍의 y좌표 $\left[\frac{1}{100} \text{ mm}\right]$
- ㉝ Z(1B): 구멍의 깊이 $\left[\frac{1}{100} \text{ mm}\right]$
- ㉞ D(2bit): 所要 tip의 指定 code

program의 實行에 必要한 該의 變數를 다음과 같이 規定한다.

CV(2B): 直線거리로부터 所要 pulse數로의 變換係數

DS(2B): 最速 start-stop pulse rate에 의한 1秒間의 直線變位值

DI (2B): drill tip이 被工作物 表面까지 移動하는 距離

RP(2B): drill tip을 90°回轉시키는데 要하는 pulse 數

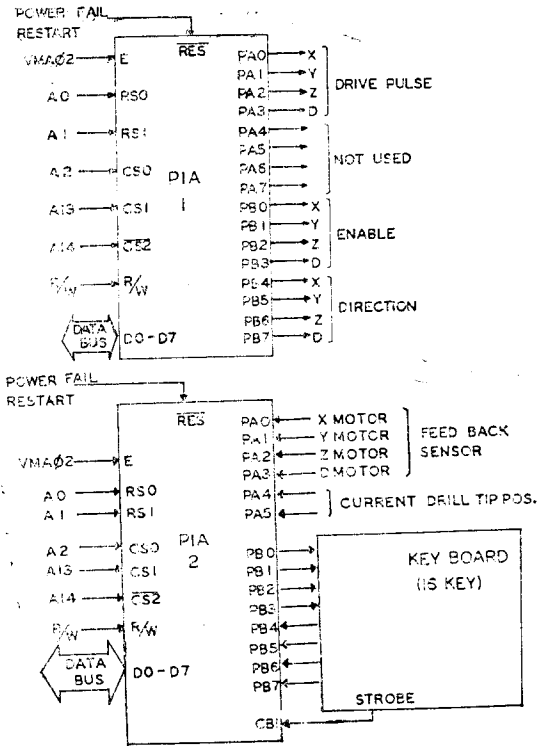


그림 8. PIA 入出力 說明圖
Fig. 8. PIA connections.

中央處理裝置와 機構部, 入力 Keyboard와의 入出力을 위하여 두 개의 PIA (Peripheral Interface Adaptor)를 썼는데 이 部分을 그림 8에 상세히 나타내었다.

그림 8에서 PIA로 부터의 出力信號로는

- 1) 各 座標軸 motor와 drill tip 回轉用 motor로 의 drive pulse 各 bit씩)
- 2) 各 pulse motor의 Enable 信號(各 1bit씩)
- 3) 各 pulse motor의 回轉方向 選擇信號(各 1bit씩)
- 4) drill tip 角 位置 指令 code (2bit)

의 14bit의 信號가 PIA1의 A port와 B port를 통해서 出力되며 入力信號로는

- 1) X,Y,Z,D motor의 feedback sensor의 出力 pulse(各 1bits씩)
- 2) Drill tip의 現在 角位置를 表示하는 code(2bit), PIA 2의 A port로 入力된다.

PIA 2의 B port의 8個는 16key로 된 keyboard가 連結되고 control signal bit CB1은 keyboard strobe로 쓴다.

- XP, YP*(各 2B): 앞의 作業의 각각 *x, y*軸 座標值
- PCX, PCY, PCZ, PCD*(各 2B): 各 座標軸의 直線 變位 및 *drill tip* 回轉을 위해서 *motor*에 보내는 *Pulse* 計數
- NFX, NFY, NFZ*(各 2B): 各 座標軸 方向의 *feedback sensor*로 부터의 *pulse* 計數
- DPX, DPY*(各 2B): 앞의 作業의 座標值와 比較한 각각 *X* 및 *Y*軸 方向의 所要移動거리
- NSP*(2B): 最速 *start-stop pulse rate* [steps/s]
- NPX, NPY, NPZ*(各 2B): *DPX, DPY, DPZ*를 각각 *pulse*數로 換算한 값
- PR*(2B): 所要移動거리중에서 最速 *start-stop rate*로 移動하는 區間을 除한 殘餘區間 거리를 *pulse*數로 換算한 값
- EX, EY, EZ*(各 2B): 各 各 座標軸 方向의 變位指令值와 實際變位值와의 差
- NVX, NVY*(各 2B): 앞의 作業의 各 座標值를 *pulse*數로 換算한 값
- DP* (2bits): 앞의 作業에서의 *drill tip* 位置表示 *code*
- ND*(2B): 目標 角 位置로 *tip*이 回轉하기 위한 所要 *pulse*數
- PKX, PKY, PKZ*(各 2B): *feedback sensor*의 出力과 比較하여 判明된 較正變位를 위하여 各 座標軸 *motor*로 보내는 *Pulse* 計數
- PHD*(2B): 穿孔할 깊이를 *pulse*數로 換算한 것
- ZD*(2B): 穿孔 作業을 위하여 *drill tip*이 下降하여야 할 目標거리
- ZS*(2B): *Z*軸 方向의 *worktable*의 實際的 變位值
- SZD*(2B): 實際로 穿孔 作業을 위하여 *drill tip*이 下降한 거리
- ER*(2B): 誤差許容值

x, y 座標로 定해지는 穿孔 位置로의 最短거리 移動을 위해서 *x, y*軸을 담당하는 두 *motor*로 보내는 *pulse*는 *Enable*을 *x, y*軸에 *pulse step*마다 교대로 하여 實際로는 *work table*이 目標位置로 直進한다. 그러나 移動하여야 할 變位值가 다를 경우에는 그림 9의 實線과 같은 經路를 따라서 *A*에서 *B*로 移動한다. 그림에서 (*XP, YP*)는 앞의 穿孔作業의 *xy* 座標值이며 (*X, Y*)는 目標位置의 座標이다. *C*點의 *y*座標는 $Y' = YP + (X - XP)$ 가 된다.

*Data*의 入力 *format*는 그림 10과 같다.

그림에서 *X, Y, Z, D*에 붙은 數字는 구멍의 順番을 나타낸다. 所要 *data*는 整數型으로 되어 있으며 *Keyboard*의 該當 *numeric key*를 눌러서 10進數로 入力

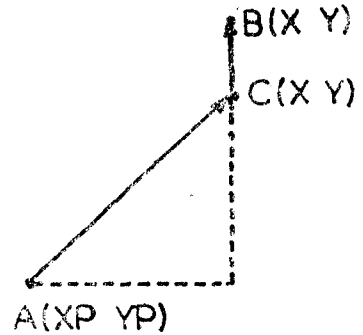


그림 9. *x-y*平面에서의 移動
Fig. 9. Actual movement on *x-y* plane.

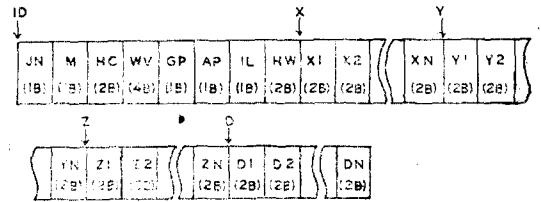


그림 10. 入力 *format*
Fig. 10. Input *format*.

- 시키며 *Control key*로서 다음의 5個를 定한다.
 - ID key*: 구멍의 位置나 깊이에 關한 *data*以前에 必要한 上記 1)項의 *data*의 入力에 앞서 눌러야 하는 *key*
 - X key*: *x* 座標值의 入力에 앞서서 눌러야 하는 *key*
 - Y key*: *y* 座標值 入力直前に 누르는 *key*
 - Z key*: 구멍의 깊이의 入力直前に 누르는 *key*
 - D key*: *drill tip*선택 *code*入力直前に 누르는 *key*
- 그림 10의 회살표 위의 表示는 눌러야 할 *key*의 종류를 나타낸 것이다.

*Drilling machine*의 穿孔 作業을 自動 制御하기 위한 *program* 作성에 必要한 *flowchart*는 그림 11과 같은데 *JOB DATA READ, KEY DETECTION, PULSE GENERATION*의 3個의 *SUBROUTINE*이 있다.

이 *flowchart*에 따라서 作成한 *Assembly listing*은 943個의 *line*을 차지하며 그 앞의 부분을 附錄에 나타내었다.

6. 結 論

*Microprocessor*를 中心으로 한 *microcomputer*를 써서 *drilling machine*의 穿孔 作業을 自動하기 위한 *software*를 構成하여 作業仕樣에 따른 *data*만의 入力

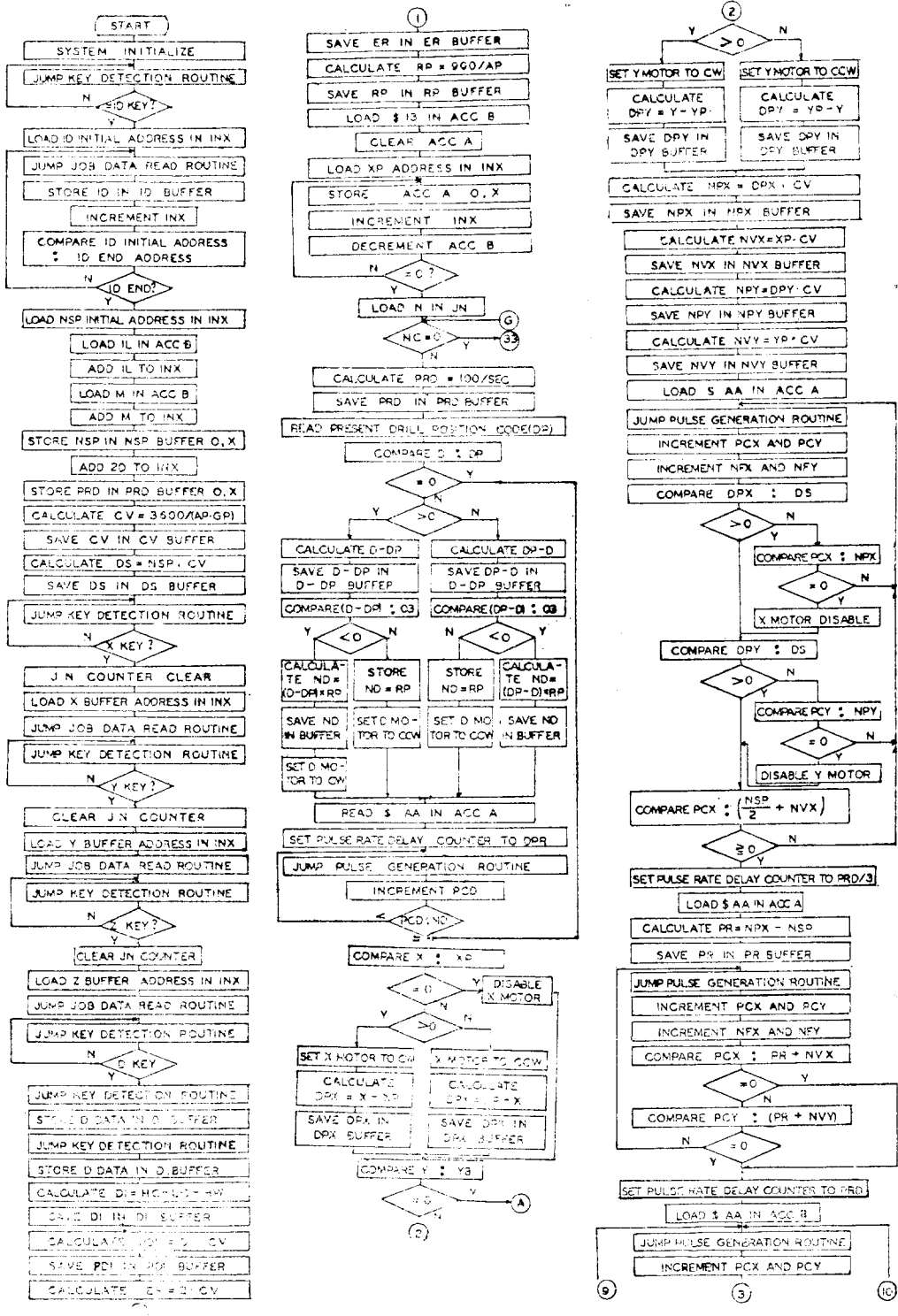


그림 11. 全體 Flow chart
Fig. 11. Total Flow chart.

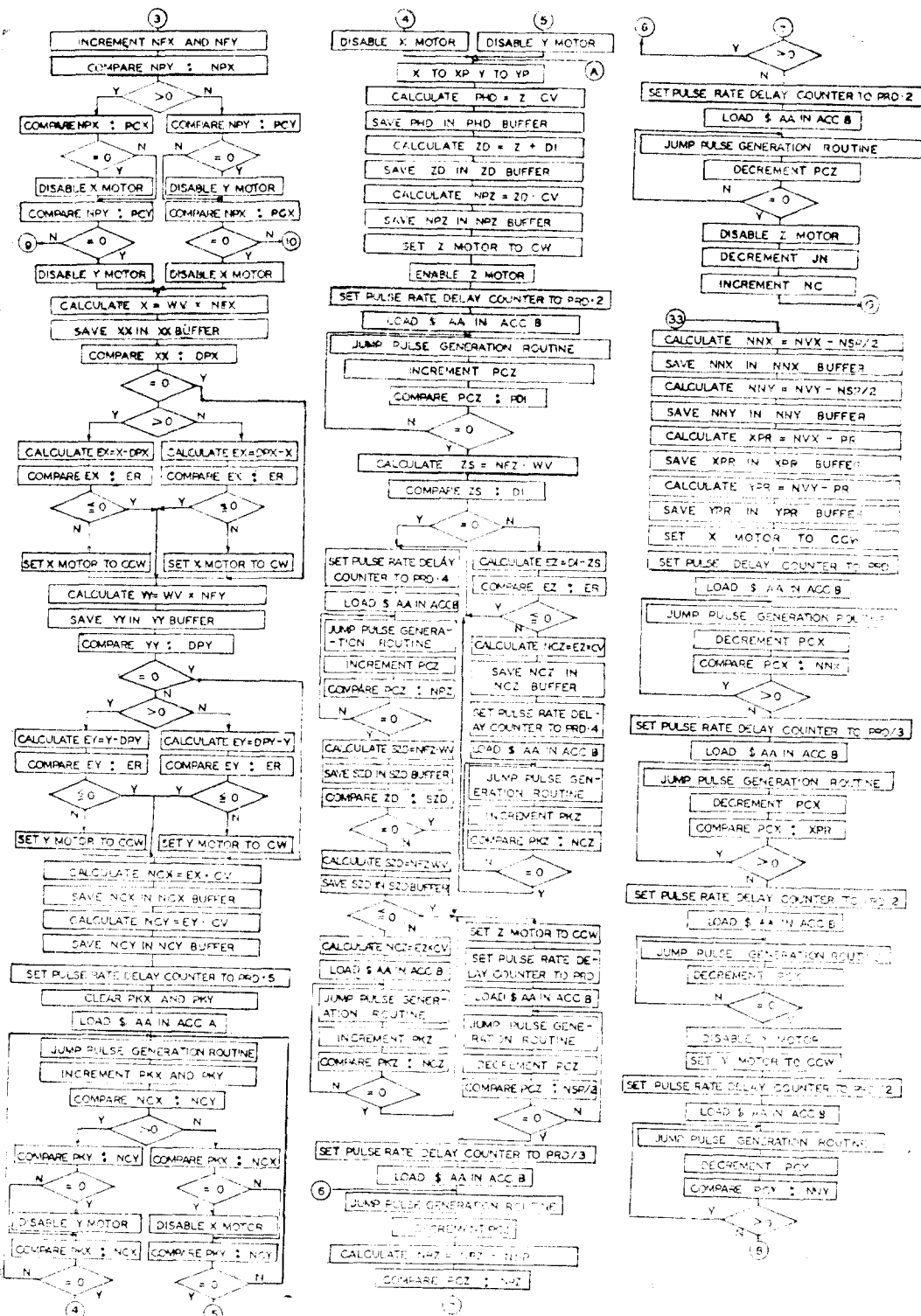


그림 11. 全體 Flow chart (계속)
Total flow chart (cont'd)

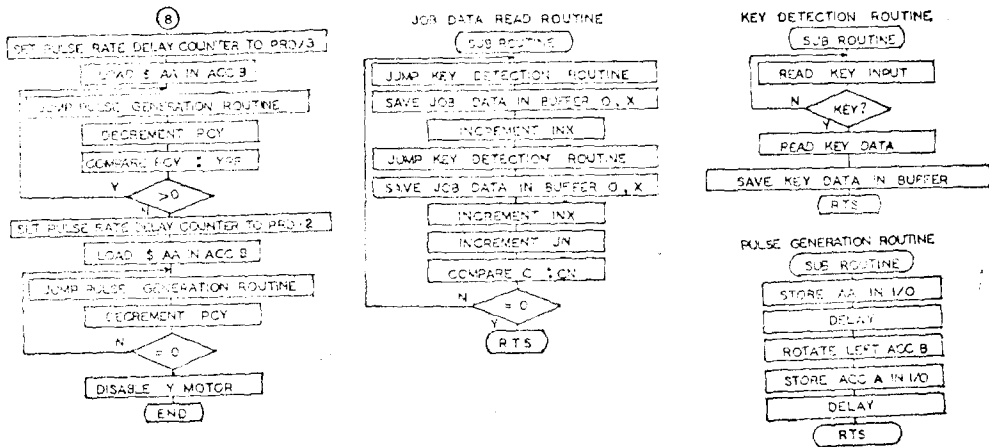


그림 11. 全體 Flow chart (계속)
Fig. 11. Total Flow chart. (cont'd)

으로서 實行이 可能하도록 이를 package化하였다.

座標軸 方向의 變位가 指令值에 忠實히 따르면서 始動 또는 停止할 수 있도록 最適 start-stop pulse rate를 調査하여 이를 matrix化 함으로써 motor의 pulse torque와 Load inertia가 주어지면 忠實한 始動과 停止에 必要한 最高速度의 pulse rate로 worktable이 移動하되 始動 및 停止區間을 除外한 區間에서는 이 puls rate를 3倍로 함으로써 移動時間 短縮을 도모하였다. 그러나 軸方向의 Z移動에서 worktable과 被工作物의 荷重, 穿孔에 따른 機械的 抵抗을 감안하여 穿孔始動時부터는 pulse rate를 x,y軸方向의 始動 pulse rate의 半으로 하였다.

本 研究는 峨山社會福祉事業財團의 研究 開發費에 의하여 이루어졌다.

參 考 文 獻

1. 이증홍外, "기존 Milling Machine의 Numerical Control" 科學技術處研究報告書 1975.
2. Moon Sub Song, "On-line Computer Control

of Machine-tool," KAIS 1976.

3. Taylor L. Booth, "Sequential Machines and Automata Theory", John Wiley, 1967 (pp' 282~303).
4. 伊藤外, "工作機械事典" 新光社 1973.
5. Jacob Tal, "Step Motor Control for Maximum Torque", IEEE Transactions on Automatic Control, April 1976.
6. Toacse and Culpi, "Time-Optimal Control of a Stepping Motor", IEEE Transaction on Industrial Electronics and Control Instrumentation, Vol IECI-23, No.3, August 1976.
7. 大久保浩之, "精密 Digital位置表示 System", 機械와 工具 Feb.1975.
8. Motorola, "M 6800 Microcomputer System Design Data", Motorola, 1976.
9. Motorola, "M6800 Microprocessor Application Manual", Motorola, 1977.

마이크로프로세서 제어 應用을 위한 소프트웨어 開發에 관한 研究

附 錄

PAGE 001 MACP ** MICROPROCESS CONTROL APPLICATION PACKAGE PROGRAM**

00001				MACP	
00002				TTL	** MICROPROCESS CONTROL APPLICATION
00003				OPT	REL
00004B	0000			ESCT	
00005B	0000	0001	A N	RNB	1 NUMBER OF DRILLING JOBS
00006B	0001	0001	A M	RNB	1 MOTOR TORQUE
00007B	0002	0002	A HC	RNB	2 SPINDLE-WORK TABLE GAP
00008B	0004	0001	A WV	RNB	1 MAGNETIC SCALE WAVE LENGTH
00009B	0005	0001	A GP	RNB	1 GEAR PITCH
00010B	0005	0001	A AP	RNB	1 ANGLE OF A PULSE
00011B	0007	0001	A IL	RNB	1 LOAD INERTIA
00012B	0005	0002	A HW	RNB	2 WORK THICKNESS
00013B	0004	0002	A NSP	RNB	2 START-STOP PULSE RATE
00014B	0000	0001	A PD	RNB	2 PULSE RATE DELAY
00015B	000E	0002	A CV	RNB	2 DISTANCE-PULSE CONVERSION
00016B	0010	0002	A DS	RNB	2 OPTIMUM START-STOP RATE DI
00017B	0012	0001	A JN	RNB	1 JOB NUMBER COUNTER
00018B	0013	0002	A DI	RNB	2 DRILL TIP-WORK PIECE DISTA
00019B	0015	0002	A FCI	RNB	2 DRILL TIP-WORK PIECE DISTA
00020B	0017	0002	A ER	RNB	2 ERROR TOLERANCE
00021B	0018	0002	A RF	RNB	2 DRILL TIP ROTATION ANGLE F
00022B	0018	0002	A WF	RNB	2 PREVIOUS JOB X COORDINATE
00023B	0010	0002	A YF	RNB	2 PREVIOUS JOB Y COORDINATE
00024B	001F	0002	A FCX	RNB	2 X MOTOR DRIVE PULSE STEPS
00025B	0021	0002	A FCY	RNB	2 Y MOTOR DRIVE PULSE STEPS
00026B	0023	0002	A FCZ	RNB	2 Z MOTOR DRIVE PULSE STEPS
00027B	0025	0002	A DFR	RNB	2 DRILL PULSE RATE
00028B	0027	0002	A DF	RNB	2 DRILL POSITION
00029B	0029	0002	A PCD	RNB	2 D MOTOR DRIVE PULSE STEPS
00030B	002B	0002	A DFX	RNB	2 X AXIS DISPLACEMENT
00031B	0020	0002	A DPY	RNB	2 Y AXIS DISPLACEMENT
00032B	002F	0002	A NFX	RNB	2 REQUIRED PULSES FOR DFX
00033B	0031	0002	A NPY	RNB	2 REQUIRED PULSES FOR DPY
00034B	0033	0002	A NVX	RNB	2 X*CV
00035B	0035	0002	A NPY	RNB	2 Y*CV
00036B	0037	0002	A PR	RNB	2 NFX-NSP
00037B	0039	0002	A XX	RNB	2 NVX-NSP
00038B	003B	0002	A YY	RNB	2 NVY-NSP
00039B	003D	0002	A NCX	RNB	2 EX*CV
00040B	003F	0002	A NCY	RNB	2 EY*CV
00041B	0041	0002	A PHD	RNB	2 Z*CV
00042B	0043	0002	A ZD	RNB	2 Z+DI
00043B	0045	0002	A NPZ	RNB	2 ZD*CV
00044B	0047	0002	A ZS	RNB	2 NFZ+MV
00045B	0049	0002	A EZ	RNB	2 DI-ZS
00046B	004B	0002	A SZD	RNB	2 NFZ+NV
00047B	004D	0002	A NRZ	RNB	2 NPZ-NSP
00048B	004F	0002	A NNX	RNB	2 NVX-NSP
00049B	0051	0002	A NNY	RNB	2 NVY-NSP
00050B	0053	0002	A XPR	RNB	2 NVX-PR
00051B	0055	0002	A YPR	RNB	2 NVY-PR
00052B	0057	0002	A NSPI	RNB	2 NSP INITIAL ADDRESS HOLDER)
00053B	0059	000C	A	RNB	12
00054B	0063	0002	A LC	RNB	2
00055B	0067	0002	A ND	RNB	2
00056B	0069	0001	A NC	RNB	1
00057B	006A	0002	A	RNB	2
00058B	006C	0002	A NFX	RNB	2

PAGE 002 MACP ** MICROPROCESS CONTROL APPLICATION PACKAGE PROGRAM**

00059B	006E	0002	A NFY	RNB	2 MAGNETIC SCALE COUNTER
00060B	0070	0002	A NXR	RNB	2 PR+NVX
00061B	0072	0002	A NYR	RNB	2 PR+NVY
00062B	0074	0002	A	RNB	2 ADDEND BUFF (74)
00063B	0076	0002	A	RNB	2 ADDER BUFF
00064B	0078	0002	A EX	RNB	2 SX-DPX
00065B	007A	0002	A EY	RNB	2 YP-DPY
00066B	007C	0002	A PKX	RNB	2 STOP COUNTER
00067B	007E	0002	A PKY	RNB	2 STOP COUNTER
00068B	0080	0002	A PKZ	RNB	2
00069B	0082	0002	A NFZ	RNB	2 MAGNETIC SCALE
00070B	0084	0002	A NCZ	RNB	2 EZ*CV
00071A	F000			ORG	\$F000
00072			MDPX	MACR	
00073			0000	LDAA	#0
00074			0000	LDAB	#0+1
00075			0000	SUBB	#1+1
00076			0000	SECA	#1
00077			0000	ENDM	
00078A	F000	4F		CLEAR	P1A
00079A	F001	CE	2000	A	
00080A	F004	A7	00	A CLP	
00081A	F006	08			
00082A	F007	0C	2008	A	
00083A	F00A	26	F004		
00084A	F00C	85	FF	A	
00085A	F00E	B7	2004	A	
00086A	F011	85	FD	A	
00087A	F013	B7	2005	A	

```

00088A F016 CE 2001 A LDX #32001
00089A F019 86 04 A LDAA #104
00090A F01B A7 00 A INP STAA JX
00091A F01D 00 INX
00092A F01E 00 INX
00093A F01F 8C 2009 A ORA #32009
00094A F022 26 F7 F01E BNE INP
00095A F024 BD F778 A KDT1 JSR KEDET IO KEY DETECTION
00096A F027 81 84 A CMPS #104
00097A F029 26 F9 F024 BNE KDT1 IS IT IO KEY?
00098A F02B CE 0000 A LDX #0000
00099A F02E BD F78F A JDR1 JSR JDR1 JOB DATA READ
00100A F031 A7 00 A STAA JX
00101A F033 00 INX
00102A F034 8C 0009 B ORA #HW+1
00103A F037 26 F5 F02E BNE JDR1
00104A F039 CE 0100 A LDX #0100 NSP INITIAL ADDRESS
00105A F03C DF 57 B STX NSP
00106A F03E 96 07 B LDAA IL
00107A F040 9E 58 B ADDA NSP+1
00108A F042 98 01 B ADDA M
00109A F044 97 58 B STAA NSP+1
00110A F046 DE 57 B LDX NSP
00111A F048 AE 00 A LDE JX
00112A F04A 9F 0A B STX NSP
00113A F04C 96 59 A LDAA #159 PRD ADDRESS MANIPULATE
00114A F04E 98 58 B ADDA NSP+1
00115A F050 97 58 B STAA NSP+1
00116A F052 DE 57 B LDX NSP

```

PAGE 003 MACP ** MICROPROCESS CONTROL APPLICATION PACKAGE PROGRAM**

```

00117A F054 A6 00 A LDAA JX PRD SEARCH
00118A F056 97 0C B STAA PRD SAVE PRD
00119A F058 A6 01 A LDAA JX
00120A F05A 97 0D B STAA PRD+1
00121A F05C 7F 005D A CLR #5D
00122A F05F 7F 005F A CLR #5F
00123A F062 96 06 B LDAA AP
00124A F064 97 5E A STAA #5E STORE AP IN MULTIPLICAND B
00125A F066 96 05 B LDAA GP
00126A F068 97 60 A STAA #60 STORE GP IN MULTIPLIER BUF
00127A F06A BD 0000 A JSR MUTP JMP MULTIPLICATION ROUTINE
00128A F06D CE 0E10 A LDX #3600
00129A F070 DF 59 A STX #59 STORE 3600 IN DIVIDEND BUF
00130A F072 DE 5D A LDX #5D
00131A F074 DF 58 A STX #58 STORE AP*GP IN DIVISOR BUF
00132A F076 BD 0000 A JSR DIVS JMP DIVISION ROUTINE
00133A F079 DE 59 A LDX #59
00134A F07B DF 0E B STX CV SAVE CV
00135A F07D DE 0A B LDX NSP
00136A F07F DF 59 A STX #59 STORE NSP IN MULTIPLICAND
00137A F081 DE 0E B LDX CV
00138A F083 DF 58 A STX #58 STORE CV IN MULTIPLIER BUF
00139A F085 BD 0000 A JSR MUTP JMP MULTIPLICATION BUFF
00140A F088 DE 59 A LDX #59
00141A F08A DF 0A B STX NSP SAVE NS
00142A F08C BD F778 A KDT2 JSR KEDET X KEY DETECTION
00143A F08F 81 44 A CMPS #44
00144A F091 26 F9 F08C BNE KDT2 IS IT X KEY?
00145A F093 7F 0012 B CLR JN CLEAR JN
00146A F096 CE 0160 A LDX #0160 X ADDRESS TO IX
00147A F099 BD F78F A JSR JDR1 JUMP JOB DATA READ
00148A F09C BD F778 A KDT3 JSR KEDET Y KEY DETECTION
00149A F09F 81 48 A CMPS #48
00150A F0A1 26 F9 F09C BNE KDT3 IS IT Y KEY?
00151A F0A3 7F 0012 B CLR JN CLEAR JN
00152A F0A6 CE 0180 A LDX #0180 Y ADDRESS TO IX
00153A F0A9 BD F78F A JSR JDR1 JUMP JOB DATA READ
00154A F0AC BD F778 A KDT4 JSR KEDET Z KEY DETECTION
00155A F0AF 81 31 A CMPS #81
00156A F0B1 26 F9 F0AC BNE KDT4 IS IT Z KEY?
00157A F0B3 7F 0012 B CLR JN CLEAR JN
00158A F0B6 CE 01A0 A LDX #01A0 Z ADDRESS TO IX
00159A F0B9 BD F78F A JSR JDR1 JUMP JOB DATA READ
00160A F0BC BD F778 A KDT5 JSR KEDET D KEY DETECTION
00161A F0BF 81 82 A CMPS #82
00162A F0C1 26 F9 F0BC BNE KDT5 IS IT D KEY?
00163A F0C3 BD F778 A JSR KEDET
00164A F0C6 B7 0100 A STAA #100 SAVE D
00165A F0C9 7F 0069 B CLR NC CLEAR NC
00166A F0CC DE 02 B LDX HC
00167A F0CE DF 61 A STX #61 STORE HC IN MINUEND BUF
00168A F0D0 DE 65 B LDX LC
00169A F0D2 DF 63 A STX #63 STORE LC IN SUBTRAHEND BUF
00170A F0D4 BD 0000 A JSR SUBT JMP SUBTRACTION
00171A F0D7 DE 08 B LDX HN
00172A F0D9 DF 63 A STX #63 STORE HN IN SUBTRAHEND BUF
00173A F0DB BD 0000 A JSR SUBT JMP SUBTRACTION
00174A F0DE 63 61 A LDX #61

```